

[1] はじめに 本報告の目的は境界値問題の有効な解析手法である積分方程式法の中に固有値問題を設定し、任意幾何形状を有する物体に対する任意周波数域におけるより低次元化された複素行列式演算により固有値を決定する一般的手法の確立を計るものであり、固有値の捉え方と弾性面内固有振動問題への適用を、数値実験により提示しようとするものである。

[2] 準備

基礎方程式 $\mathcal{L}u(x) = [C_1^2 \Delta + (C_2^2 - C_1^2) \nabla \nabla + \omega^2]u(x) = -f(x)$
 二 次 元 基 本 解 $U(x, Y; \omega) = \frac{1}{4\pi} \left[H_0^{(1)}(k_f r) + \frac{1}{2} \nabla \nabla [H_0^{(1)}(k_f r) - H_0^{(2)}(k_f r)] \right]$
 一重層ポテンシャル $(S_L)(x) \stackrel{\text{def}}{=} \int_{\partial D} U(x, y; \omega) \cdot \hat{n}(y) dS_y$
 二重層ポテンシャル $(D_L)(x) \stackrel{\text{def}}{=} \int_{\partial D} \nabla U(x, y; \omega) \cdot \hat{n}(y) dS_y$
 Green 第3 公式 $F(x)u(x) = \frac{1}{2} (S_L)(x) + (D_L)(x)$ 内部公式
 外部公式
 境界上の積分作用素 $IK: L_1(\partial D) \rightarrow L_2(\partial D)$ が $L_2(\partial D)$ 上の積分作用素
 $(IKu)(x) \stackrel{\text{def}}{=} \int_{\partial D} \frac{\pi}{2} U(x, y; \omega) \cdot \hat{n}(y) dS_y$
 $IK^*: IK$ の隣伴積分作用素
 $(IK^*)(x) \stackrel{\text{def}}{=} \int_{\partial D} \frac{\pi}{2} U(x, y; \omega) u(y) dS_y$

$X, Y \in \mathbb{R}^3$; $x, y \in \partial D$; $k_f = \frac{\omega}{c}$, $k_i = \frac{\omega}{c_i}$; ∇ は \mathbb{R}^3 の複素共役
 と、この積分方程式による固有値問題は右の表-1 のように構築出来る。各積分作用素の計算機特性を考慮すると、固有値問題は次の積分方程式の可解性問題へ帰着される。

[3] 固有値決定積分方程式と固有値決定条件

第1種問題 $(S_L^1)(x) = 0 \quad x \in \partial D$ 第2種問題 $(\frac{1}{2}\mathbb{I} + \bar{K}^*)(\bar{u})(x) = 0 \quad x \in \partial D$ 第3種問題 $(S_L^3)_{\partial D_u}(x) - (\bar{K}^*)_{\partial D_u}(x) = 0 \quad x \in \partial D_u \quad (\mathbb{I} = \delta_{ij} \delta_{xy})$
 $(S_L^3)_{\partial D_d}(x) - (\frac{1}{2}\mathbb{I} + \bar{K}^*)(\bar{u})_{\partial D_d}(x) = 0 \quad x \in \partial D_d$

数値積分を適切に評価した時、上の積分方程式の行列表現と非自明解存在性に対する条件は次のようになる。

$$[\mathbf{A}(\omega)][\mathbf{u}] = \{0\}, \quad \det[\mathbf{A}(\omega)] = 0$$

表-1 固有値決定方程式 (固有値)					
問題	構成	積分方程式	作用素	固有値	次数
I.F.	L (7.5a) $(\frac{1}{2}\mathbb{I} - K^*)\bar{u} = 0$	K^* I_2 A_5 (7.5b) $u_+ = 0$ \bar{u}			
	\bar{L} (7.5a) $(\frac{1}{2}\mathbb{I} - K^*)\bar{u} = 0$	K^* $A_2 A_6$ (7.5b) $u_- = 0$ \bar{u}			
	G (7.7a) $(\frac{1}{2}\mathbb{I} - K^*)\bar{u} = 0$	K I_4 A_5 (7.7b) $u_- = S$ \bar{u}			
	\bar{G} (7.8a) $S \bar{u} = 0$	(S)			
	\dot{G} (7.8a) $(\frac{1}{2}\mathbb{I} - K^*)\bar{u} = 0$	K A_5 (7.8b) $u_+ = S$ \bar{u}			
	\bar{G} (7.8a) $S \bar{u} = 0$	(S)			
E.S.	L (7.9a) $(\frac{1}{2}\mathbb{I} - K^*)\bar{u} = 0$	K $I_1 A_2$ (7.9b) $u_+ = S$ \bar{u}			
	G (7.9a) $(\frac{1}{2}\mathbb{I} - K^*)\bar{u} = 0$	K $I_2 A_1$ (7.9b) $u_- = S$ \bar{u}			
	D_n (7.9a) $D_n \bar{u} = 0$	(D_n)			
I.S.	L (7.10a) $(\frac{1}{2}\mathbb{I} + K)\bar{u} = 0$	$-K$ I_2 A_4 (7.10b) $u_+ = S$ \bar{u}			
	\bar{L} (7.10a) $(\frac{1}{2}\mathbb{I} + K)\bar{u} = 0$	$-K$ $A_1 A_3$ (7.10b) $u_- = S$ \bar{u}			
	G (7.10a) $(\frac{1}{2}\mathbb{I} + K^*)\bar{u} = 0$	K^* $I_2 A_3$ (7.10b) $u_- = -D$ \bar{u}			
	D_n (7.10a) $D_n \bar{u} = 0$	(D_n)			
	\bar{G} (7.10a) $\bar{D}_n \bar{u} = 0$	$-K^*$ A_4 (7.10b) $u_- = -D$ \bar{u}			
E.F.	L (7.15a) $(\frac{1}{2}\mathbb{I} + K^*)\bar{u} = 0$	$-K^*$ $I_2 A_7$ (7.15b) $u_+ = D$ \bar{u}			
	G (7.15a) $(\frac{1}{2}\mathbb{I} + K)\bar{u} = 0$	$-K$ $I_2 A_8$ (7.15b) $u_- = S$ \bar{u}			
	S (7.15a) $S \bar{u} = 0$	(S)			
I.M.	G (7.17a) $(S \bar{u})_{\partial D_u} - (K^* \bar{u})_{\partial D_u} = 0$	$S \times \in \partial D_u$ $u_+ = (\$ - \bar{u})_{\partial D_u}$ $\frac{1}{2} \int_{\partial D_u} \bar{u}$			
	G (7.17a) $(S \bar{u})_{\partial D_u} - (K^* \bar{u})_{\partial D_u} = 0$	$K \times \in \partial D_u$ $u_- = -(D \bar{u})_{\partial D_u}$ $\frac{1}{2} \int_{\partial D_u} \bar{u}$			
E.M.	G (7.18a) $(S \bar{u})_{\partial D_u} - (K^* \bar{u})_{\partial D_u} = 0$	$S \times \in \partial D_u$ $u_+ = (\$ - \bar{u})_{\partial D_u}$ $\frac{1}{2} \int_{\partial D_u} \bar{u}$			
	G (7.18a) $(S \bar{u})_{\partial D_u} - (K^* \bar{u})_{\partial D_u} = 0$	$K \times \in \partial D_u$ $u_- = (\$ - \bar{u})_{\partial D_u}$ $\frac{1}{2} \int_{\partial D_u} \bar{u}$			

[表-1の注] I: 内部, E: 外部, F: 第1種, S: 第2種, M: 第3種

[4] 固有値問題の捉え方と複素行列式の評価

上の形式的表示から導かれます w (角振動数) と関係する基本的概念を列挙します。
 (i) 等方弾性体には 2 つの波が存在するが分散性なき波を対象とする時 w は正の実数値と仮定することが出来ます。
 (ii) 積分作用素は未知量 (u) に関しては線形ですが、ペラノータの関数とみなす時、 w をその内部に非線形超越的包含する。
 (iii) この時、非自明解存在条件は、複素超越方程式の零点を求めよ問題に帰着する。
 本数値解析の特徴は (ii)(iii) にあり、積分作用素を実パラメータ w を持つ複素作用素値関数とみなす点にある。この点が境界上の積分方程式により固有値問題を捉えたことの帰結である。

次に数値計算における複素行列式の捉え方を説明する。
 $D = \det[A(\omega)] = 0$ に対応するパラメータの値として原理的には固有値は求まますが、問題は “数値計算上これが如何に達成され得るか” にあり数値計算の状況を確認しておくことが必要である。いま複素行列式の挙動を感知するに最も原始的な方法は、実パラメータ w を連続的に与えた時、その値 D が複素平面上に描く曲線を追跡することである。
 いま $\det[A(\omega)]$ (は $\mathbb{R}^4 \rightarrow \mathbb{C}(\mathbb{R}, \mathbb{R})$ なる変換器) があり、本手法の精度はこの変換器の精度 (即ち、数値積分の精度、分割数、境界形状など)

に左右され、数値計算上 Δ の零値が達成されることは不可能である。図-1はこの状況を説明したもので、複素平面の原点から各パラメータ N に対する行列式の大きさを示している。この数値計算段階において一般的には、固有値問題を複素平面上の極値問題として捉えることが自然である。この推論の保証を得るために行なった数値実験が図-2である。これは図中に示した形状に対する Helmholtz 方程式 Dirichlet 固有値問題に対して実行された。図の下部には正解(Bessel 関数の零点)を示した。○印が各境界分割数 N に対する $|D|$ の極値を示す。 \odot 印は対応する $\Delta + k = K$ の近似固有値 K_{Nk} であり、相当荒い分割(境界分割 $N=16$ 行 $\times 4$ の分割 $\Delta K=4K$)を意味し、今の場合 $\Delta K=0.1$ にもかかわらず、各 K_{Nk} は正解を十分追跡し得ることが確認される。「積分がより正確に評価されるにつれて N を増加すると、 Δ の行列式の値が零に近づく方向で固有値が決定される」状況を示している。「この極値近傍からさらに細分割を行なえばさらに正確な近似固有値を得ることができる」とが出来た。この主張は数値的に検討したもののが表-2である。境界分割数 N が多い程精度がよくなるのは当然である。問題は $N=16$ など荒い分割数にもかかわらず各固有値近傍における 2% 以内の相対誤差以内に収まっている事実にある。さらに、本解析手法が本質的に関係するのは積分の精度があり積分が正確に評価される時、境界分割数 N によらず高次固有値を正確に求めることができた。これは基礎偏微分方程式の基本解を用いて直接的帰結があり、他の手法には見られない特徴の一つである。

[5] 弾性問題への応用 本手法は第1種(棟値)、第2種(応力)、第3種(混合)境界値問題に適用された。図-3、図-4は第3種問題、第1、第2固有値決定段階を示した。ここにおいて $N=16$ など荒い分割数にもかかわらず行列式の極値を与えた横波波数は、ほぼ一定した値を保持しておりこれが確かめられる。紙面の都合上他の問題に対する結果は当日報告するが、ほぼ同じ傾向を示していることを付記する。

[6] おわりに

本手法の最も重要な段階は図-1の作成である。言ふ換えをすれば、なるべく少ない分割数で、ある程度の正確性を保持し、任意周波数域に対する極値の位置を指定する段階である。この段階における主觀性が問題となるが、この点は数値積分の精度が保證された時、解消される。最後に、表-1における基本的段階の考察は、内部、外部問題と固有値の関係、さらには、局所固有値の存在性など、多くの問題を提示することを目指す。

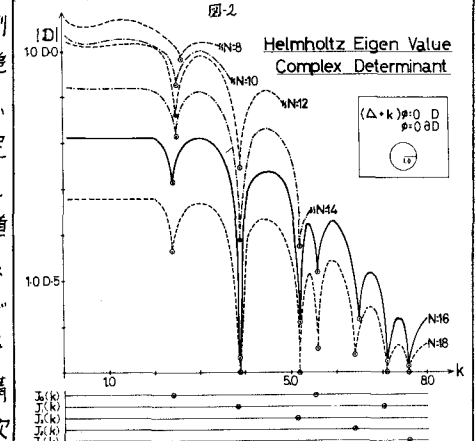
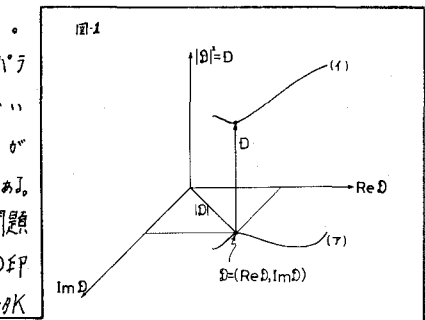


表-2 First and Second Eigen Value

Exact $K_1=2.40483$			Exact $K_2=3.83171$		
N	K_N	Error $e= K_N - K_1 $	N	K_N	Error $e= K_N - K_2 $
16	2.447	0.042	1.75	3.897	0.085
20	2.432	0.027	1.12	3.873	0.041
30	2.417	0.012	0.50	3.851	0.019
40	2.412	0.007	0.29	3.842	0.010
50	2.409	0.009	0.17	3.839	0.007

